

## АНАЛИЗ ДВИЖЕНИЯ КОСМИЧЕСКОГО АППАРАТА С ТРОСОВОЙ СИСТЕМОЙ С УЧЕТОМ РАБОТЫ ДВИГАТЕЛЕЙ ОРИЕНТАЦИИ

1. **Постановка задачи.** В большинстве работ, посвященных анализу космических тросовых систем (ТС), объект исследований – трос и груз, причем космический аппарат (КА) рассматривается как материальная точка [1-4]. Такое упрощение для большинства задач вполне оправдано, поскольку масса КА существенно больше массы троса и груза, а его линейные размеры значительно меньше длины троса. Однако, по крайней мере, в двух случаях такие упрощения не допустимы: во-первых, когда речь идет об уровне микроускорений на борту КА в процессе развертывания ТС и, во-вторых, когда рассматриваются нештатные ситуации на начальном этапе развертывания ТС, связанные с заклиниванием или отрывом троса.

В предлагаемой работе изучаются колебания КА как твердого тела под действием силы натяжения троса, гравитационного момента и силы тяги двигательной установки (ДУ) системы ориентации. Закон силы натяжения троса и траектория груза, закрепленного на тросе, считаются известными. Рассматривается динамическое развертывание ТС, при котором трос выпускается быстрее по сравнению со статическим способом [2, 3]. Под действием кориолисовой силы капсула отклоняется от вертикали, затем, после того, как трос развернут на полную длину, начинается возвратное движение к вертикали. Характерной особенностью динамического развертывания троса является большой угол  $\varphi$  отклонения троса от местной вертикали ( $\varphi_{\max} \approx \pi/4$ ). Ограничивающее влияние на движение ТС оказывают гравитационные и кориолисовы силы, лежащие в плоскости орбиты КА, поэтому вполне оправданно рассмотрение плоского движения ТС, груза и аппарата.

Целью является построение математической модели, описывающей движение вокруг центра масс КА с тросовой системой для доставки груза на Землю с учетом работы ДУ системы ориентации. Математическая модель предназначена для анализа нештатных ситуаций, определения уровня микроускорений на борту КА и выбора характеристик системы ориентации.

Существенным является вопрос выбора модели троса. Известны три основные модели: трос моделируется как тяжелая гибкая нить с помощью уравнений в частных производных [5]; трос заменяется совокупностью  $N$  сосредоточенных точечных масс, соединенных отрезками невесомого вязкоупругого троса [2, 3]; рассматривается не-

сомый, упругий и тонкий трос [1]. В задаче об определении конфигурации троса и положения груза, как правило, используют вторую модель, которая при относительно небольшом числе точечных масс дает хорошее согласование с результаты моделирования троса как непрерывной, тяжелой нити [2, 3, 6]. Тем не менее, при этом требуется значительный объем вычислений. Поскольку в рассматриваемой задаче объектом исследования является КА в его движении относительно центра масс, то воспользуемся простейшей моделью – моделью невесомого, тонкого, упругого троса.

**2. Математическая модель.** Рассмотрим механическую систему, показанную на рис. 1 и состоящую из КА с центром масс в точке  $C$ , троса  $AB$  и груза  $B$ . Запишем уравнения движения центра масс КА в виде [4]:

$$\begin{aligned} \dot{V} &= -\frac{X_C}{m_C} - g_C \sin \theta - \frac{T}{m_C} \sin(\theta - \varphi), \\ \theta &= \Omega - \frac{1}{V} \left( g_C \cos \theta + \frac{T}{m_C} \cos(\theta - \varphi) \right), \\ H &= V \sin \theta, \\ L &= \frac{R_1}{R_1 + H} V \cos \theta, \end{aligned} \quad (1)$$

где  $V$  – скорость,  $\theta$  – угол наклона траектории,  $R_3$  – радиус Земли,  $m_C$  – масса КА,  $g_C$  – ускорение свободного падения на высоте КА,  $X_C$  – сила аэродинамического сопротивления,  $T$  – сила натяжения троса,  $H, L$  – высота и дальность полета.



Рис. 1. Связка КА-трос-груз

Для вывода уравнений относительного движения груза воспользуемся подвижной системой координат  $Cx_u$  и введем ряд допущений. Будем считать, что 1) отклонение груза от местной вертикали мало по сравнению с расстоянием от центра масс КА до центра Земли и скорость выпуска троса мала по сравнению со скоростью движения КА; 2) направления ускорений свободного падения КА  $g_C$  и груза  $g_B$  совпадают, а скорости КА  $V$  и груза

$V_B$  параллельны; 3) масса КА  $m_C$  существенно превосходит массу груза  $m_B$  и тогда:

$1/m_B + 1/m_C \approx 1/m_B$ . Введем новые независимые переменные  $\rho, \varphi$ :

$x = \rho \sin \varphi + \Delta \sin \alpha, \quad y = -\rho \cos \varphi - \Delta \cos \alpha,$

где  $\rho = AB$  – длина троса,  $\varphi$  – угол отклонения троса от вертикали,  $\Delta = CA$  (рис. 1).

Тогда, если полагать, что линейные размеры КА существенно меньше длины троса ( $\Delta/\rho \rightarrow 0$ ), получим:

$$\begin{aligned} \ddot{\rho} &= -2\Omega\rho\dot{\varphi} - \frac{T}{m_B} + \left( \frac{X_C}{m_C} + \frac{X_B}{m_B} \right) \sin(\varphi - \theta) + 3\Omega^2\rho \cos^2\varphi + \rho\dot{\varphi}^2, \\ \ddot{\varphi} &= 2\Omega\frac{\dot{\rho}}{\rho} + \Omega + \frac{1}{\rho} \left( \frac{X_C}{m_C} - \frac{X_B}{m_B} \right) \cos(\varphi - \theta) - 3\Omega^2\rho \cos\varphi \sin\varphi - 2\dot{\varphi}^2\frac{\dot{\rho}}{\rho}, \end{aligned} \quad (2)$$

где  $X_B$  – сила аэродинамического сопротивления, действующая на груз;  $\Omega = V \cos\theta/r$  – угловая скорость вращения КА по орбите.

Для вывода уравнения, описывающего движение КА относительно его центра масс воспользуемся теоремой об изменении кинетического момента в проекции на ось  $Cz$  перпендикулярную плоскости движения  $Cxy$  (рис. 1):

$$\dot{K}_z = M_T + M_G + M_{ДУ}, \quad (3)$$

где  $K_z = J_z(\dot{\alpha} - \Omega)$  – кинетический момент КА относительно оси  $Cz$ ;  $M_T$  – момент силы натяжения троса,  $M_G$  – гравитационный момент,  $M_{ДУ}$  – момент, создаваемый ДУ, который будем определять как пару сил:

$$M_{ДУ} = P \cdot h.$$

Здесь  $P$  – тяга ДУ,  $h$  – плечо.

Пусть ДУ имеет постоянную тягу, а длительность включения зависит от угла отклонения оси КА от вертикали  $\alpha$  и угловой скорости  $\dot{\alpha}$ :

$$T_{ДУ} = k_\alpha \alpha + k_{\dot{\alpha}} \dot{\alpha},$$

где  $\text{sgn}(K_\alpha) = -\text{sgn}(\alpha)$ ,  $\text{sgn}(K_{\dot{\alpha}}) = -\text{sgn}(\dot{\alpha})$ .

Для орбиты КА, близкой к круговой ( $\Omega = \text{const}$ ), уравнение (3) примет вид:

$$J_z \ddot{\alpha} = T \Delta \sin(\varphi - \alpha) + 3n^2 (J_x - J_y) \sin\alpha \cos\alpha + M_T, \quad (4)$$

где  $J_x, J_y, J_z$  – главные компоненты тензора инерции КА,  $n = \sqrt{\gamma m_J / (R_J + H)}$  – универсальная гравитационная постоянная,  $m_J$  – масса Земли.

Полное ускорение, возникающее в процессе развертывания ТС на борту КА, можно найти по формуле:

$$W = r \sqrt{(\ddot{\alpha})^2 + (\dot{\alpha})^4},$$

где  $r$  – расстояние от центра масс КА до точки, в которой определяются дополнительные ускорения.

**3. Моделирование движения.** Уравнения (1), (2) и (4) описывают плоское движение системы: груз-трос-КА с учетом работы ДУ системы ориентации. Пусть данная система имеет параметры:  $L_T = 3.1 \cdot 10^4$  м – длина троса,  $J_X = 10^3$  кг·м<sup>2</sup>,  $J_Y = J_Z = 10^3$  кг·м<sup>2</sup>,  $m_C = 6000$  кг,  $m_B = 15$  кг,  $\Delta = 2$ ,  $k_{\alpha=0}$  при следующих начальных условиях:  $V_0 = 7.7 \cdot 10^3$  м/с,  $\theta_0 = 0.15^\circ$ ,  $H_0 = 2.8 \cdot 10^5$  м,  $x_0 = 0$ ,  $y_0 = 4$  м,  $\dot{x}_0 = 0$ ,  $\dot{y}_0 = 2.5$  м/с,  $\alpha_0 = 0$ ,  $\dot{\alpha}_0 = 0$ .

Будем рассматривать динамическое разворачивание троса по схеме [2], которая состоит из трех фаз (рис. 2): медленного разворачивания (до точки 1); быстрого разворачивания, приводящего к отклонению троса от местной вертикали в направлении полета (до точки 3); и возвратного колебательного движения троса (до точки 4). Точка 2 (рис. 2) соответствует максимальному углу отклонения троса от вертикали. На рис. 3 показан закон управления силой натяжения троса  $T(t)$ , которому соответствует траектория движения груза в связанной с КА системе координат  $S_{xy}$  (рис. 2).

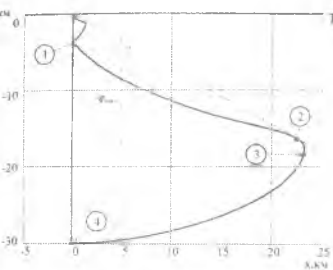


Рис. 2. Траектория движения груза в системе координат  $S_{xy}$

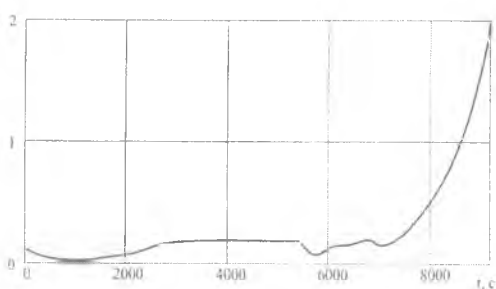


Рис. 3. Закон управления силой натяжения троса

На рис. 4 приведены закон отклонения троса от вертикали  $\varphi(t)$  (штрихпунктирная кривая) и зависимости угла отклонения КА от вертикали с учетом работы системы ориентации ( $\alpha_{ДУ}(t)$  – штриховая кривая) и без нее ( $\alpha(t)$  – сплошная кривая), полученные численным интегрированием уравнения (4).

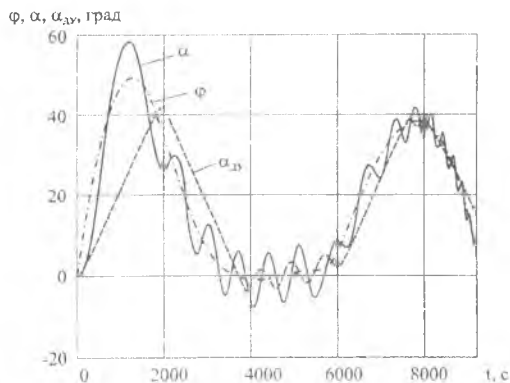


Рис. 4. Углы отклонения троса  $\varphi(t)$  и КА  $\alpha(t)$ ,  $\alpha_D(t)$  от вертикали

На рис. 5 показана зависимость полного ускорения от времени для точки, находящейся на расстоянии  $r=1$  м от центра масс при свободном движении КА ( $M_{DV} = 0$ ). Очевидно, что максимальные дополнительные ускорения наблюдаются на завершающем этапе движения ТС, когда сила натяжения троса имеет наибольшее значение.

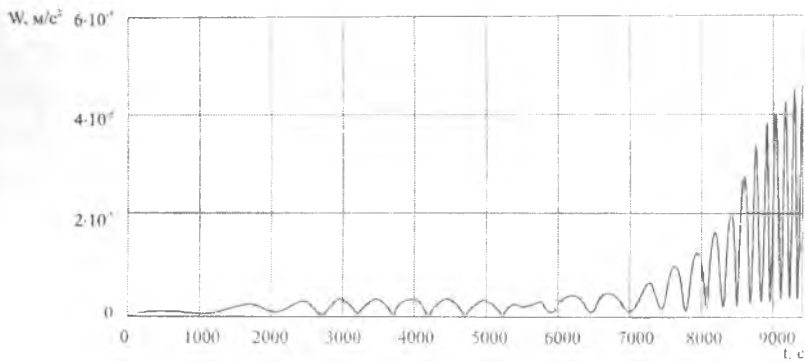


Рис. 5. Полное ускорение  $W$  от времени

Работа выполнена при поддержке Российского фонда фундаментальных исследований (06-01-00355-а).

#### Библиографический список

1. Белецкий В.В., Левин Е.М. Динамика космических тросовых систем. М.: Наука, 1990.
2. Frank Zimmermann, Ulrich M. Schottle, Ernst Messerschmid. Optimization of the tether assisted return mission of a guided re-entry capsule. Aerospace Science and Technology (2005), 713–721.

5. Ф. Дигнат, В. Шилен. Управление колебаниями орбитальной тросовой системы. Прикладная математика и механика, 2000, т. 64, вып. 5, с. 747-754.
6. Сидоров И.М. Об использовании тросовых систем для создания постоянно действующего транспортного канала в космическом пространстве. Полет, 2000, № 8, с. 36-39.
7. Меркин Д.Р. Введение в механику гибкой нити. М.: Наука, 1980.
8. Асланов В.С., Ледков А.С., Стратилатов Н.Р. Пространственное движение космической тросовой системы, предназначенной для доставки груза на Землю. Полет, 2007, № 2, с. 28-33.